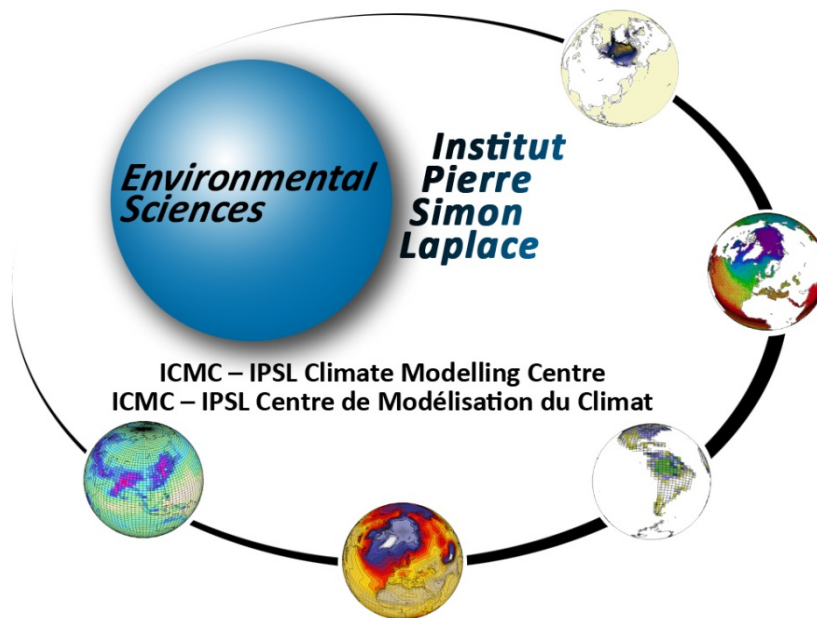
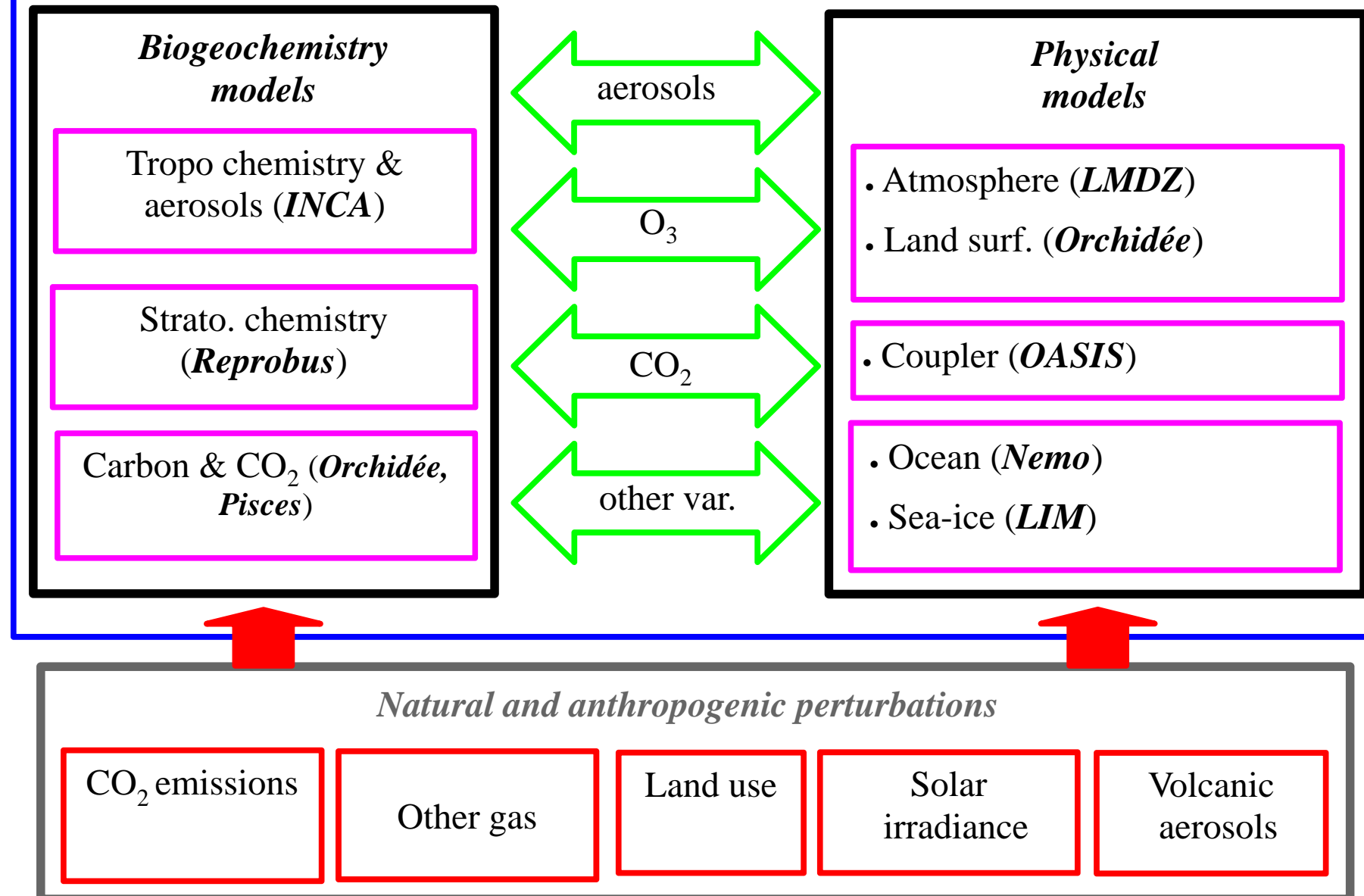


# *Simulation CMIP5 avec IPSL-CM5*



*Journée MissTerre, 19-23 novembre 2012*

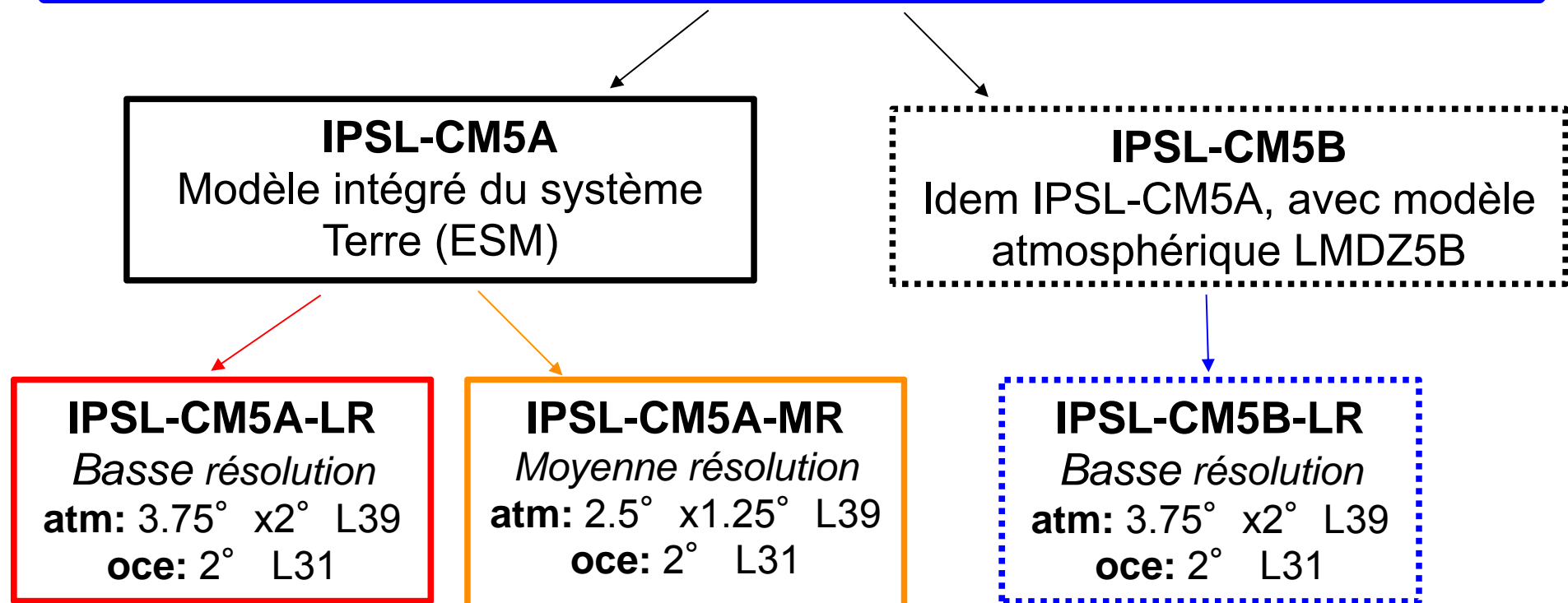
# IPSL-CM5 Earth System Model platform



[Dufresne et al., 2012]

# Modèles de l'IPSL pour CMIP5

LMDZ-ORCHIDEE-ORCA-LIM-PISCES-INCA-REPROBUS-OASIS

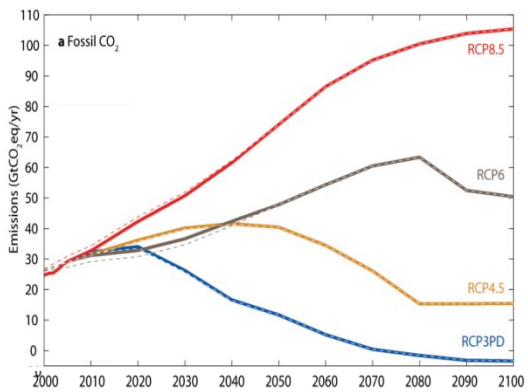


# Simulations réalisées avec IPSL-CM5

Simulations	CM5A-LR		CM5A-MR		CM5B-LR	
	# Yr	#Expe	# Yr	#Expe	# Yr	#Expe
piControl+historical+AMIP	2900	16	1260	8	490	4
Paleo	3000	3	-	-	500	1
Future climate projections	2200	16	800	4	200	2
Carbon emission	800	8	140	1	-	-
Diagnostic & understanding	1750	22	280	2	510	9
Detection and attribution	4800	30	960	6	-	-
Others	4400	35	-	-	-	-
Total	19850	130	3440	21	1700	16

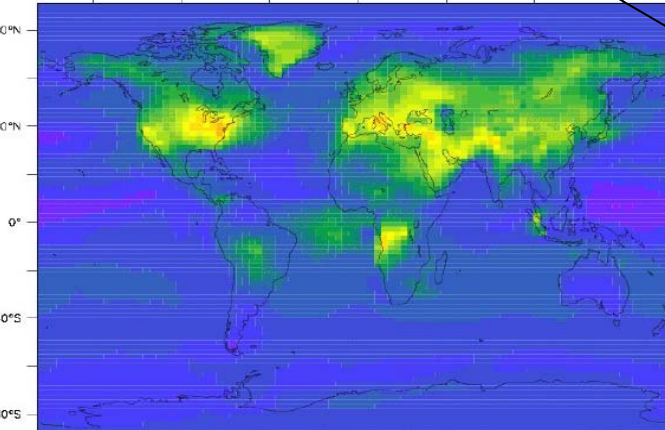
# Calcul des champs d'ozone et d'aérosols

- émissions et concentration de gaz
- première estimation de l'évolution des SST et de la banquise

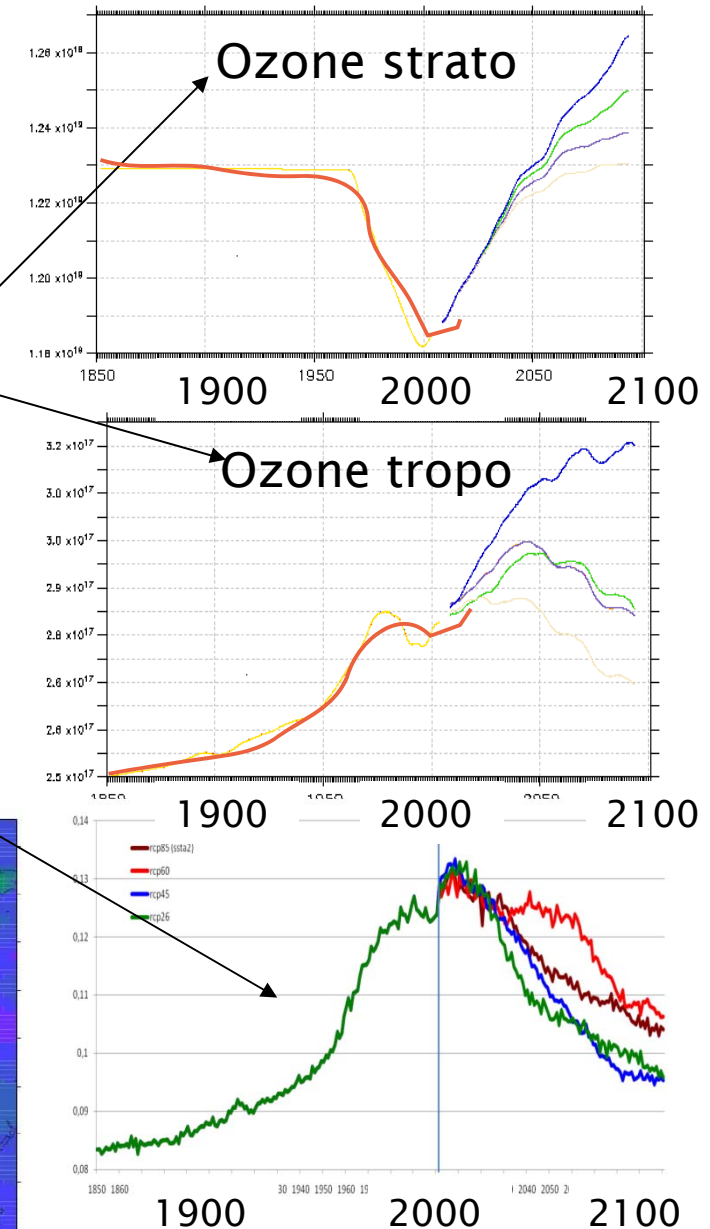


LMDZ -  
Reprobus  
LMDZ - INCA

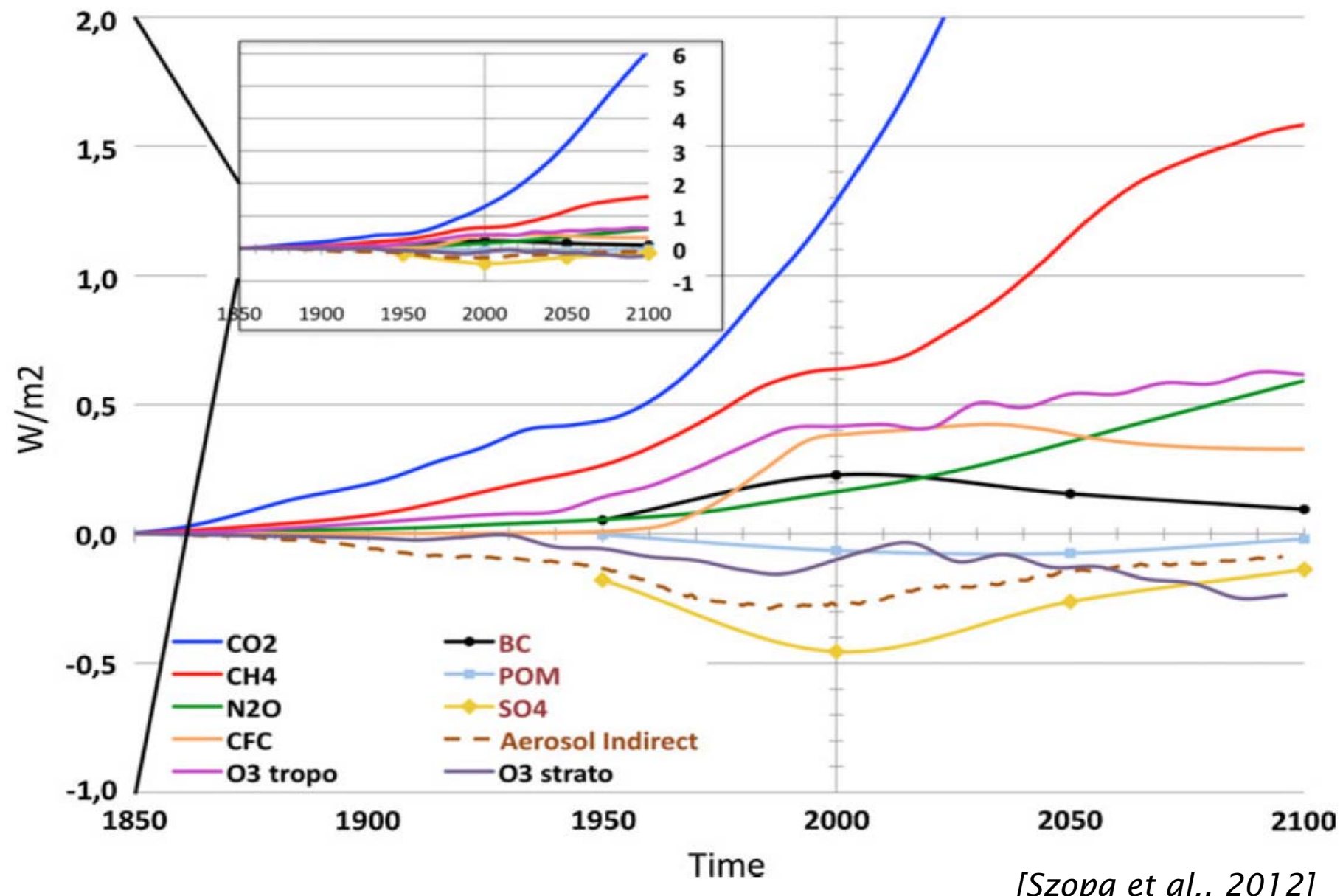
Aérosols (sulfaté,  
BC, POM...)



[Szopa et al., 2012]

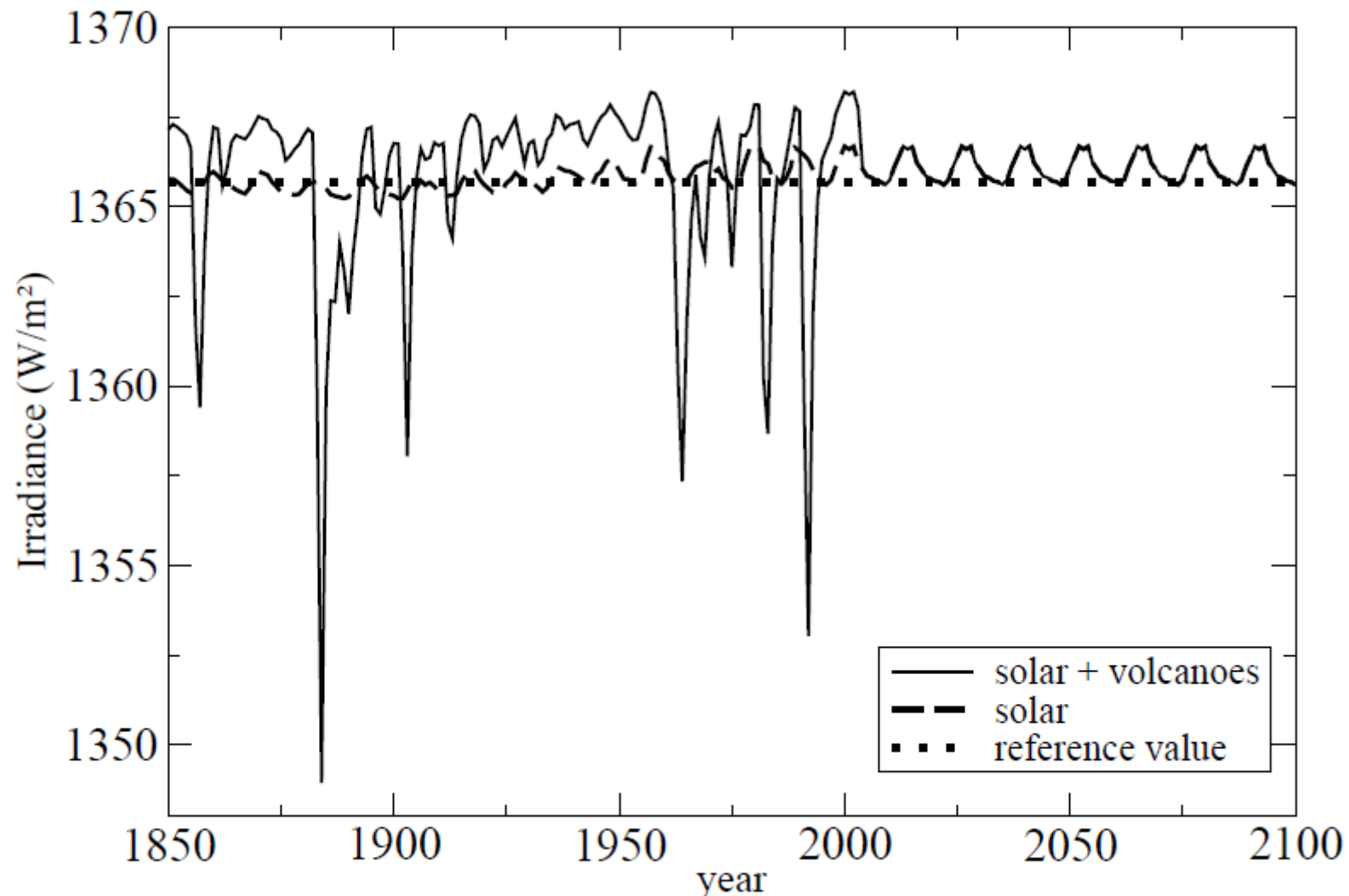


# Time evolution of the anthropogenic radiative forcings in the IPSL-CM5A-LR historical and RCP8.5 simulations

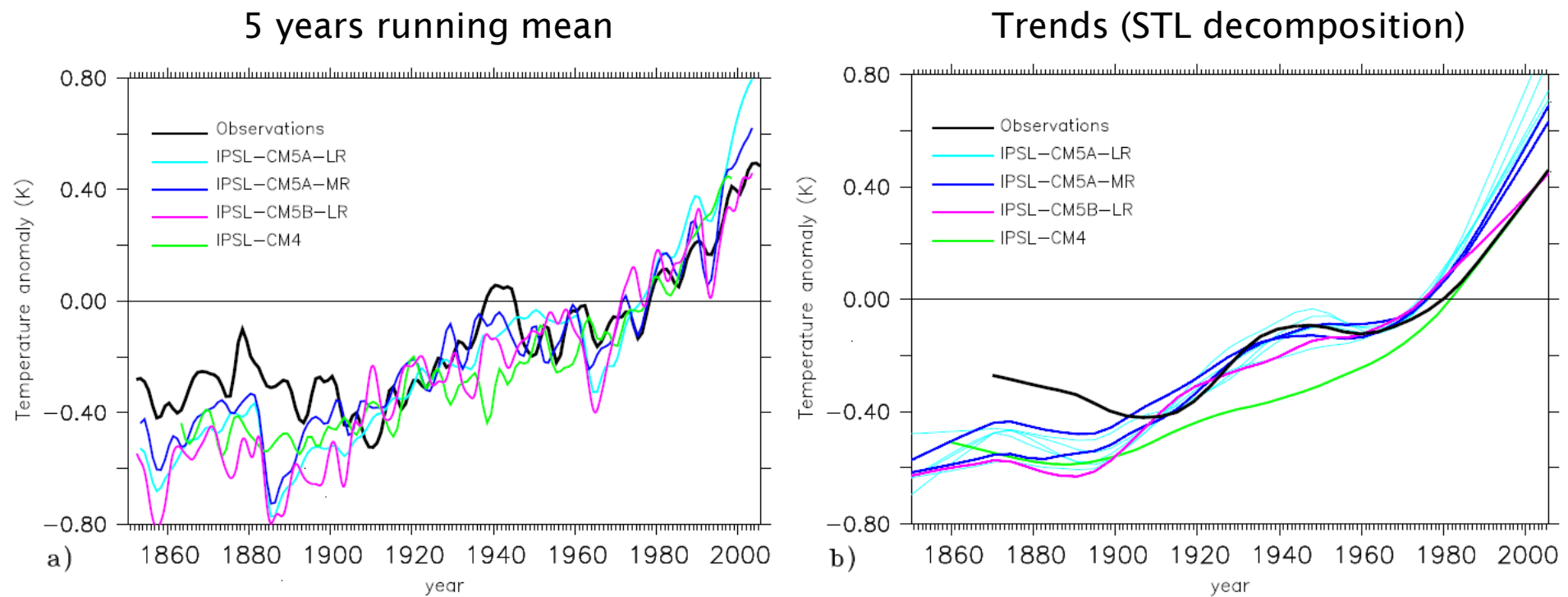


[Szopa et al., 2012]

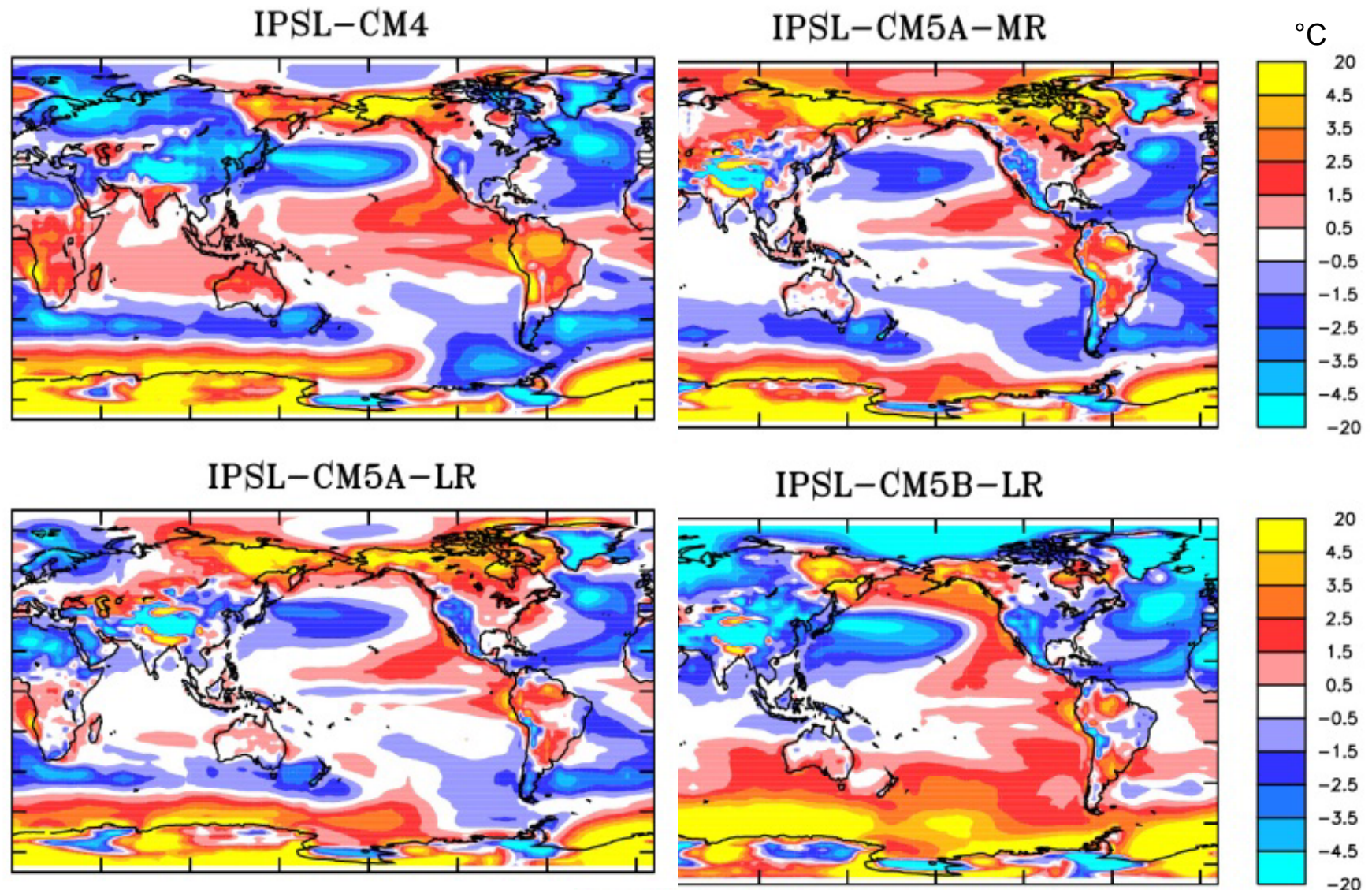
## Time evolution of the natural radiative forcings in the IPSL-CM5 historical and RCPs simulations



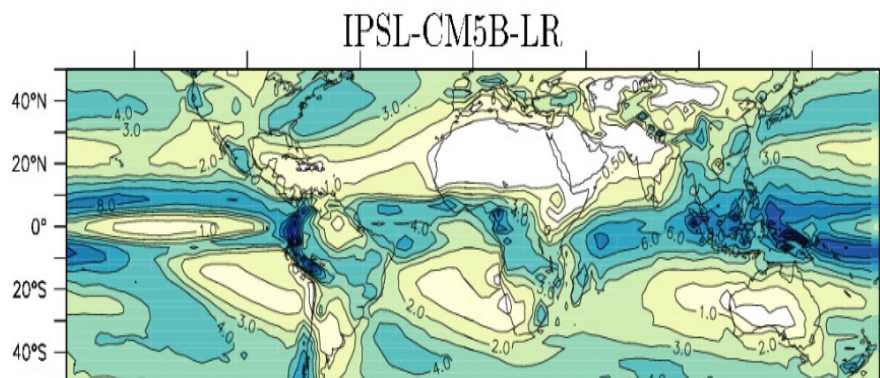
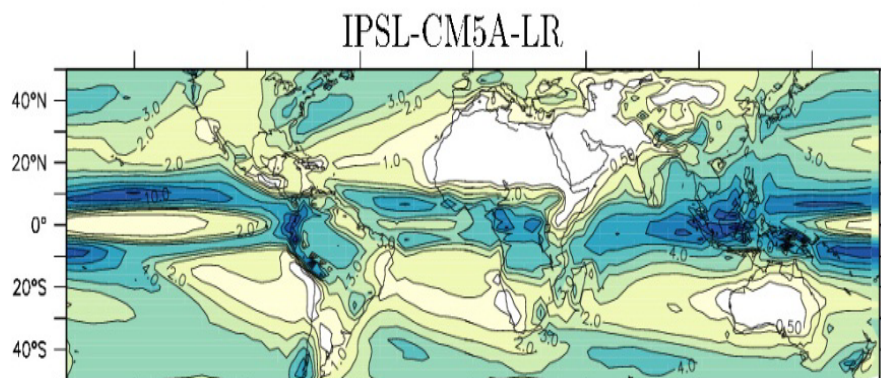
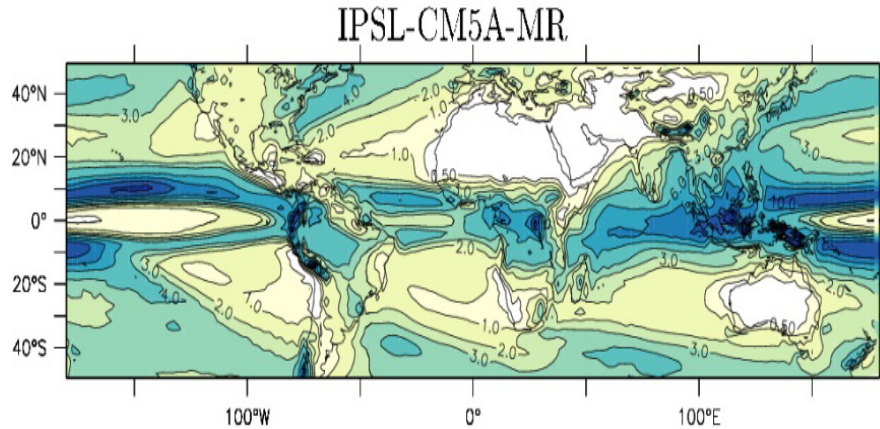
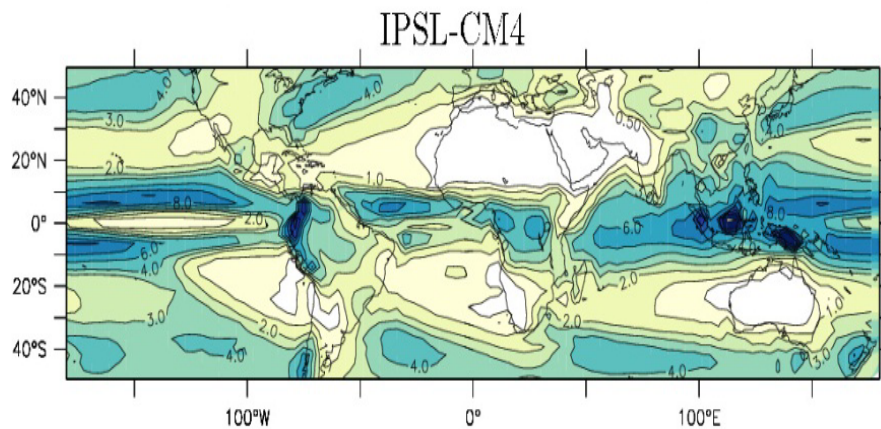
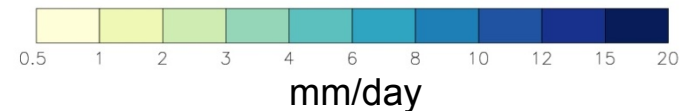
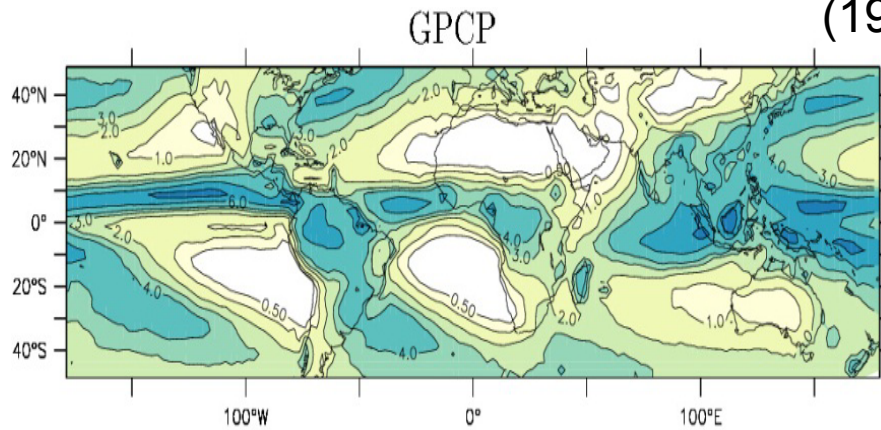
# Time evolution of the global mean air surface in the IPSL-CM historical simulations



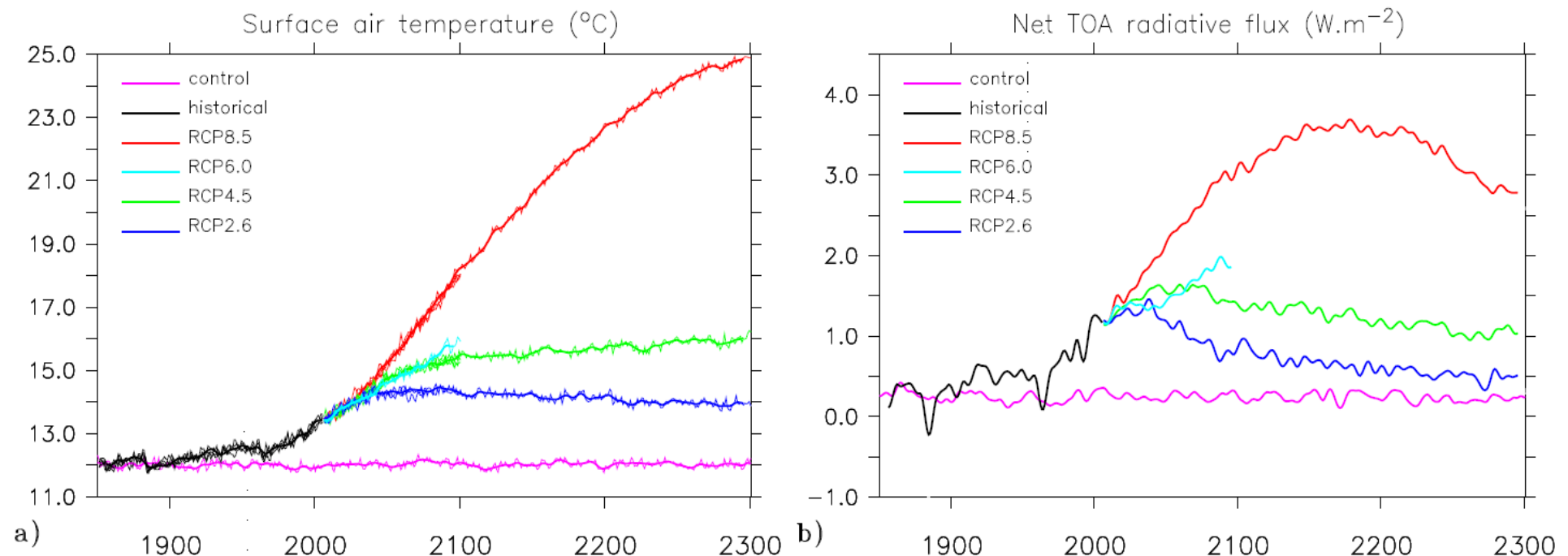
# Bias in air surface temperature (1961-1990)



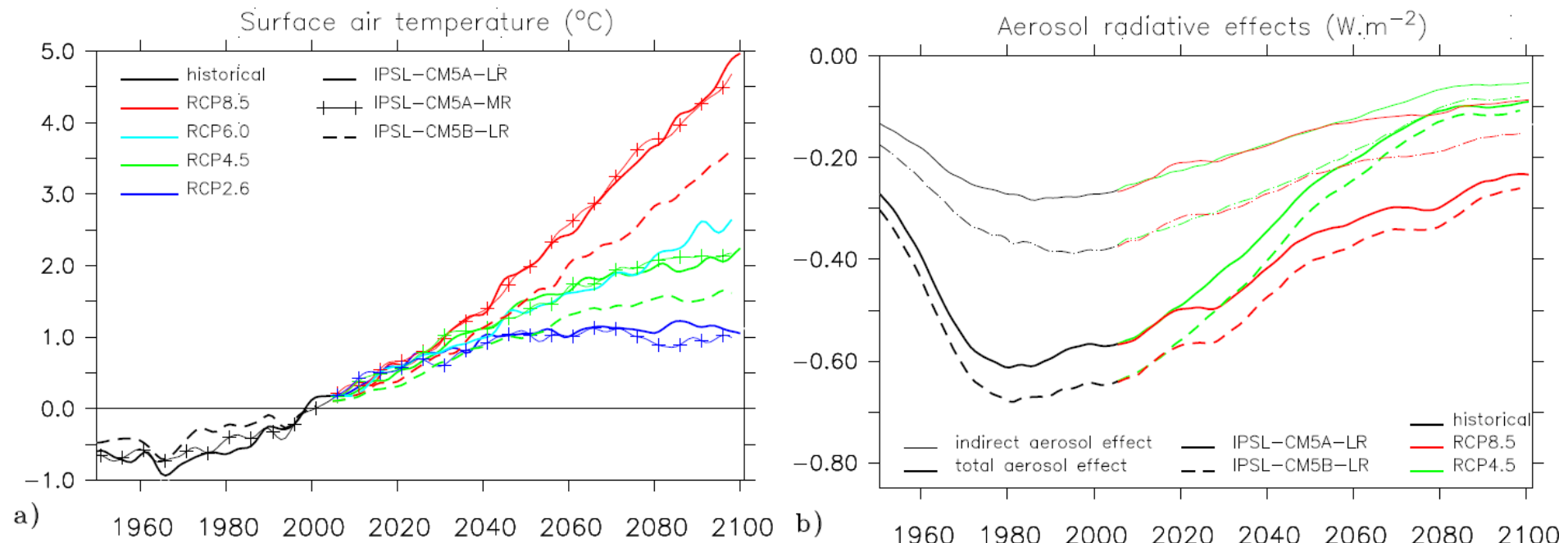
# Precipitation (1961-1990)



# Time evolution of the global mean air surface and heat budget in the IPSL-CM5A-LR historical and RCPs simulations

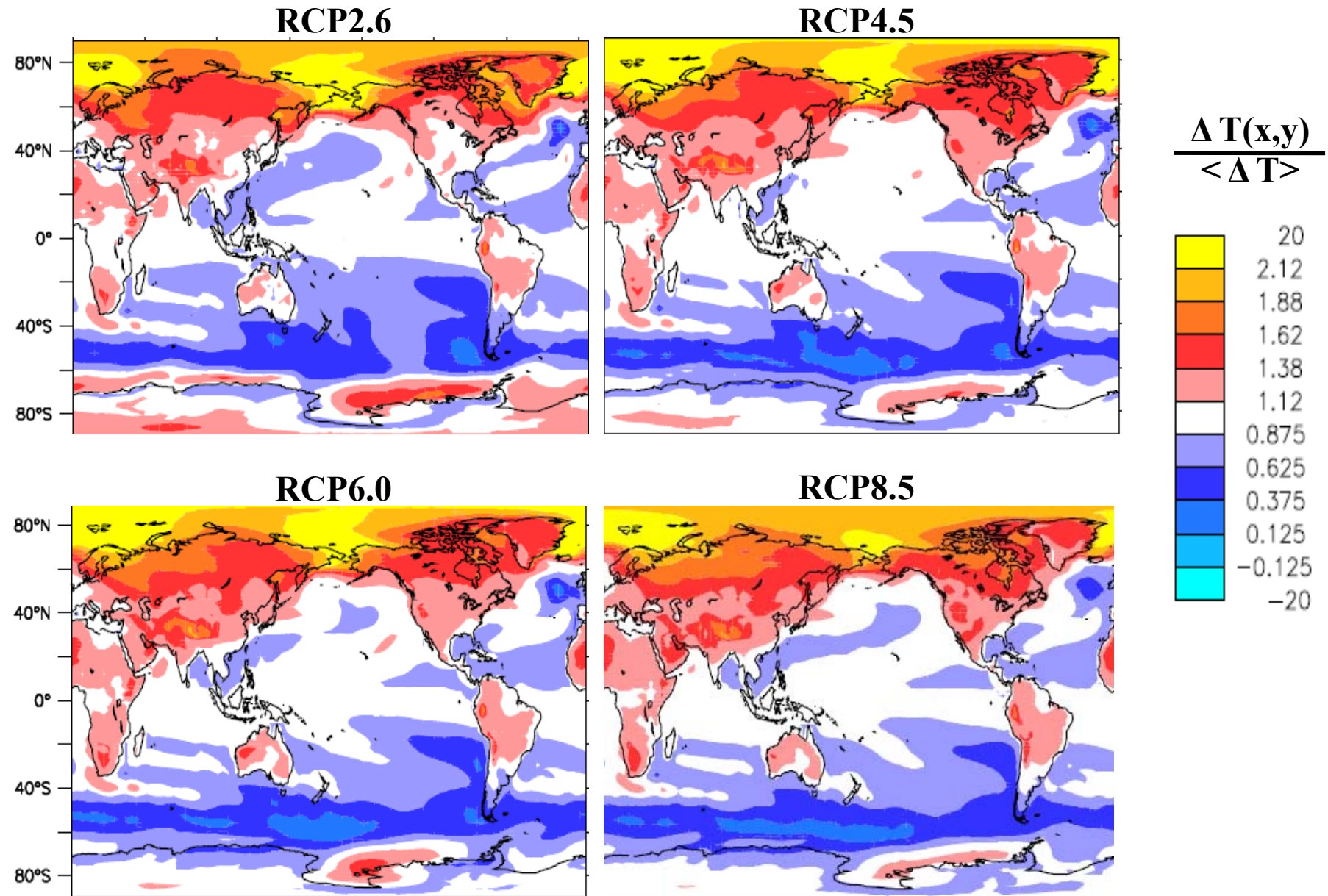


# Time evolution of the global mean air surface and aerosols forcings in the historical and RCPs simulations for IPSL-CM5A-LR, CM5A-MR and CM5B-LR

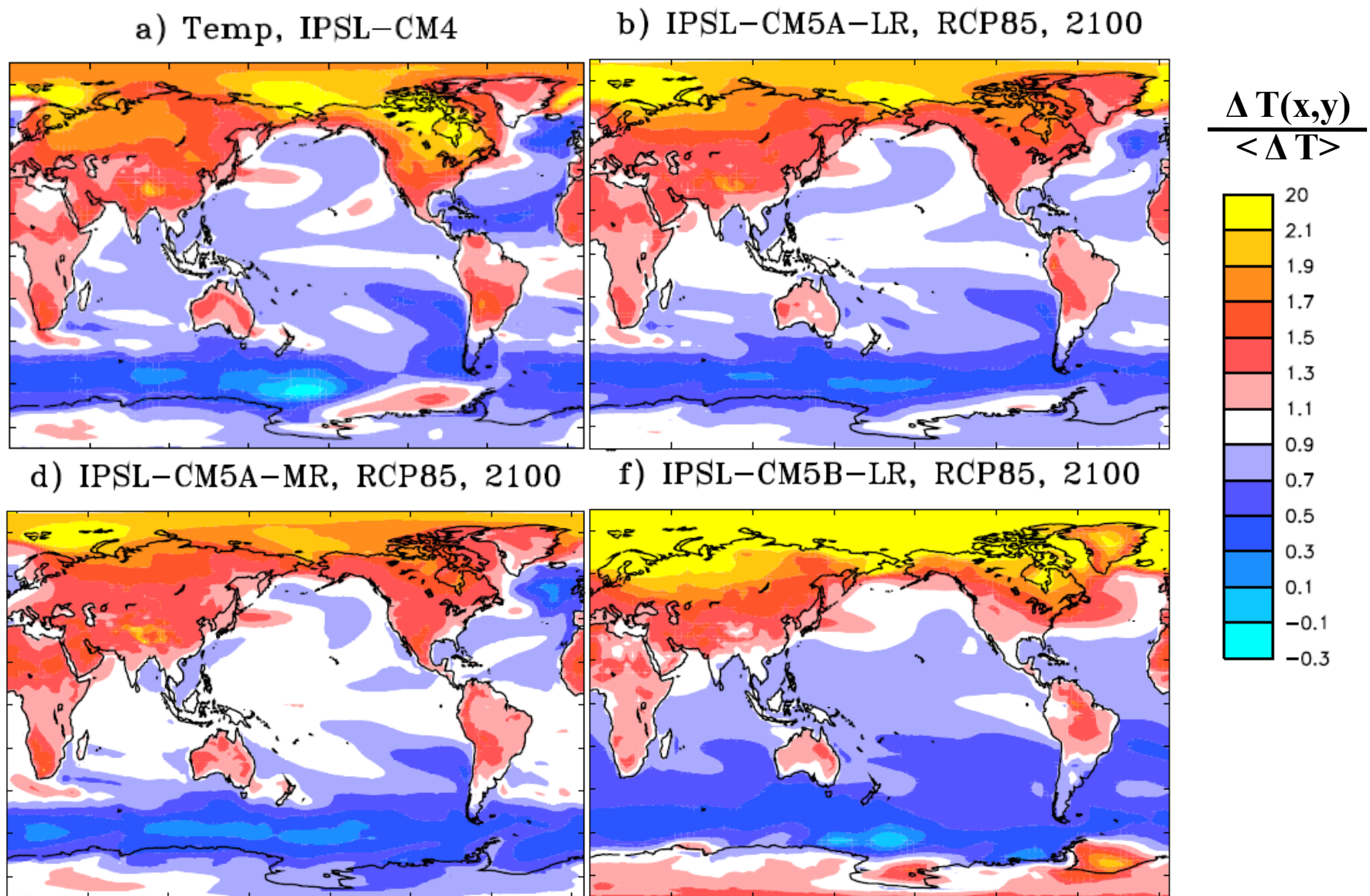


# Pattern of normalized air surface temperature in 2100

IPSM-CM5A-LR, different scenarios

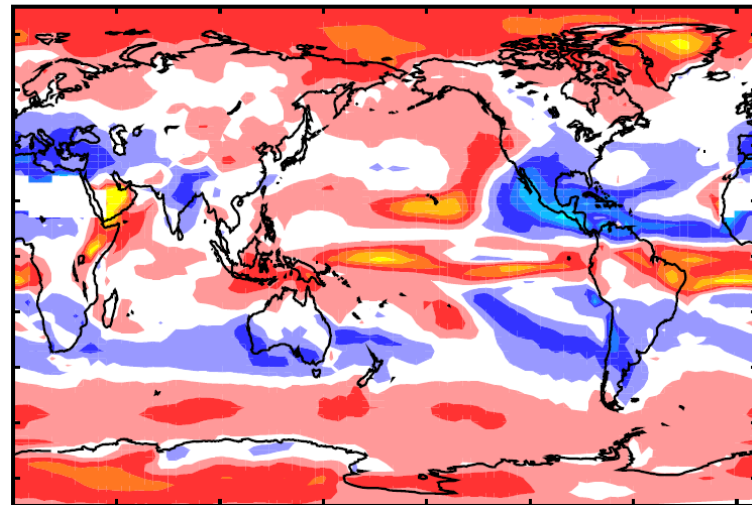


# Pattern of normalized air surface temperature in 2100 different IPSL-CM models

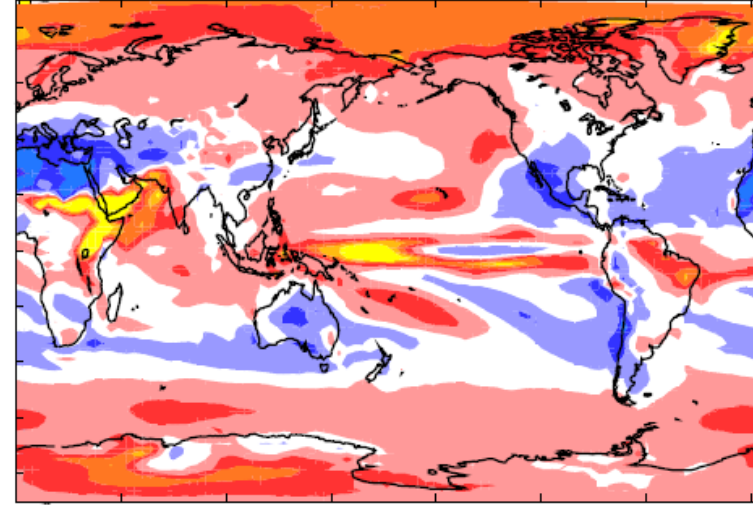


# Pattern of normalized relative precipitation changes in 2100 different IPSL-CM models

c) Precip, IPSL-CM4

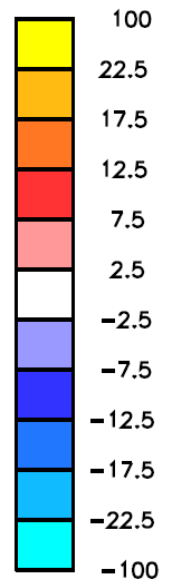


b) IPSL-CM5A-LR, RCP85, 2100

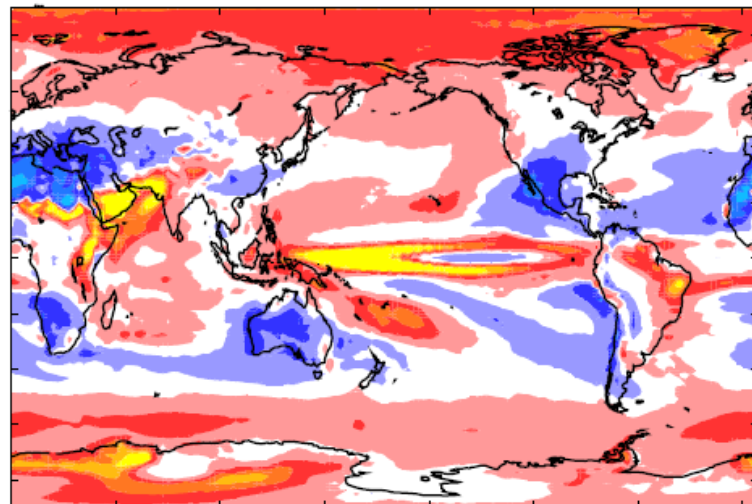


$$\frac{\Delta P(x,y)}{P(x,y)} \cdot \frac{1}{\langle \Delta T \rangle}$$

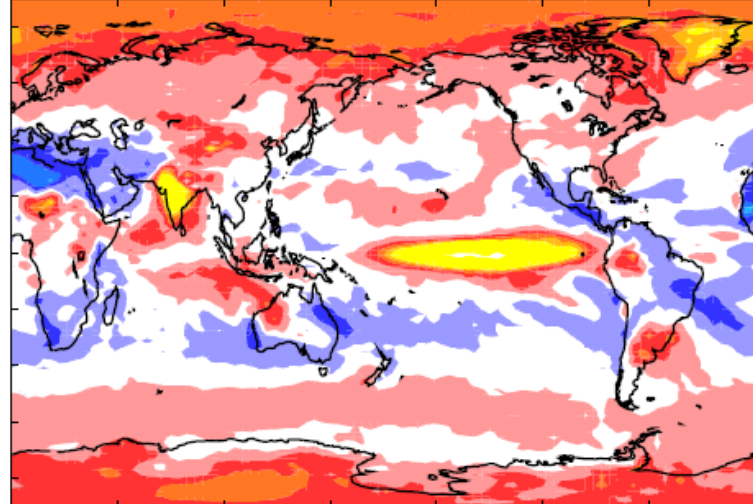
\*100



d) IPSL-CM5A-MR, RCP85, 2100

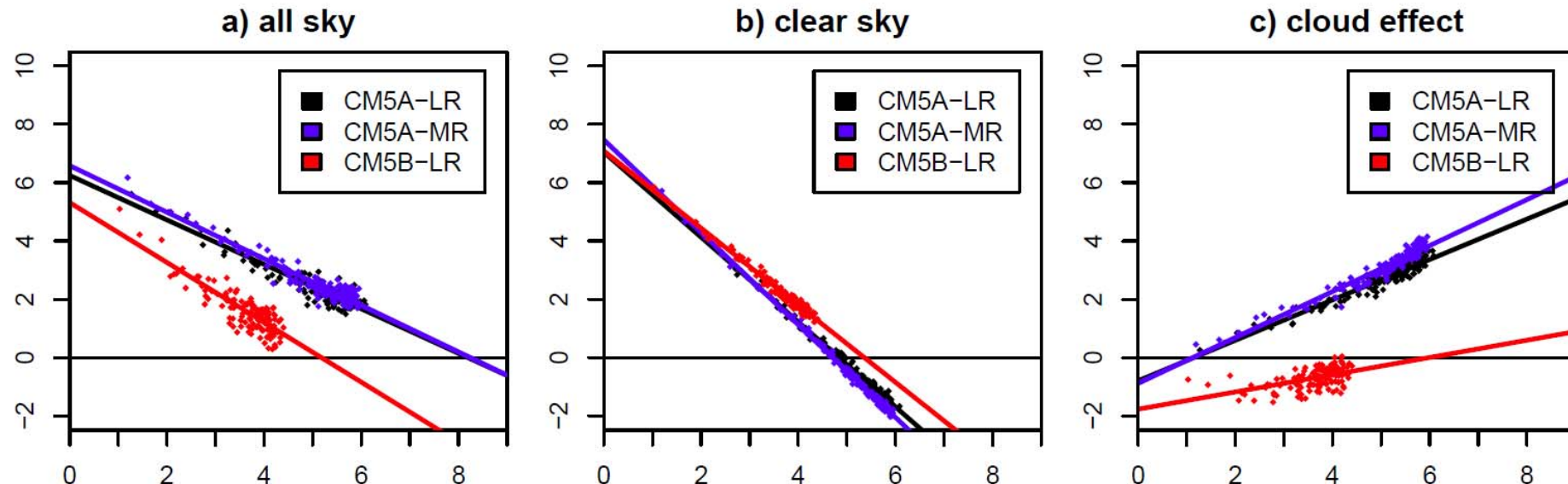


f) IPSL-CM5B-LR, RCP85, 2100



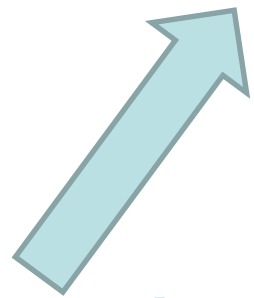
# Climate sensitivity for different IPSL-CM models

Flux TOA vs surface temperature for the abrupt 4xCO<sub>2</sub> simulations



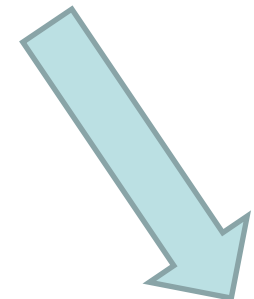
model	1%/year CO <sub>2</sub> increase				abrupt 4xCO <sub>2</sub>		
	$\Delta Q_t(2\text{CO}_2)$ (W m <sup>-2</sup> )	$\lambda$ (W m <sup>-2</sup> K <sup>-1</sup> )	TCR(2CO <sub>2</sub> ) (K)	$\Delta T_s^e(2\text{CO}_2)$ (K)	$\Delta Q_t(2\text{CO}_2)$ (W m <sup>-2</sup> )	$\lambda$ (W m <sup>-2</sup> K <sup>-1</sup> )	$\Delta T_s^e(2\text{CO}_2)$ (K)
IPSL-CM4	3.5	-0.92	2.13	3.79			
IPSL-CM5A-LR	3.5	-0.98	2.09	3.59	3.12	-0.76	4.10
IPSL-CM5A-MR	3.5	-1.01	2.05	3.47	3.29	-0.80	4.12
IPSL-CM5B-LR	3.5	-1.68	1.52	2.09	2.66	-1.03	2.59

## Émission de CO<sub>2</sub>

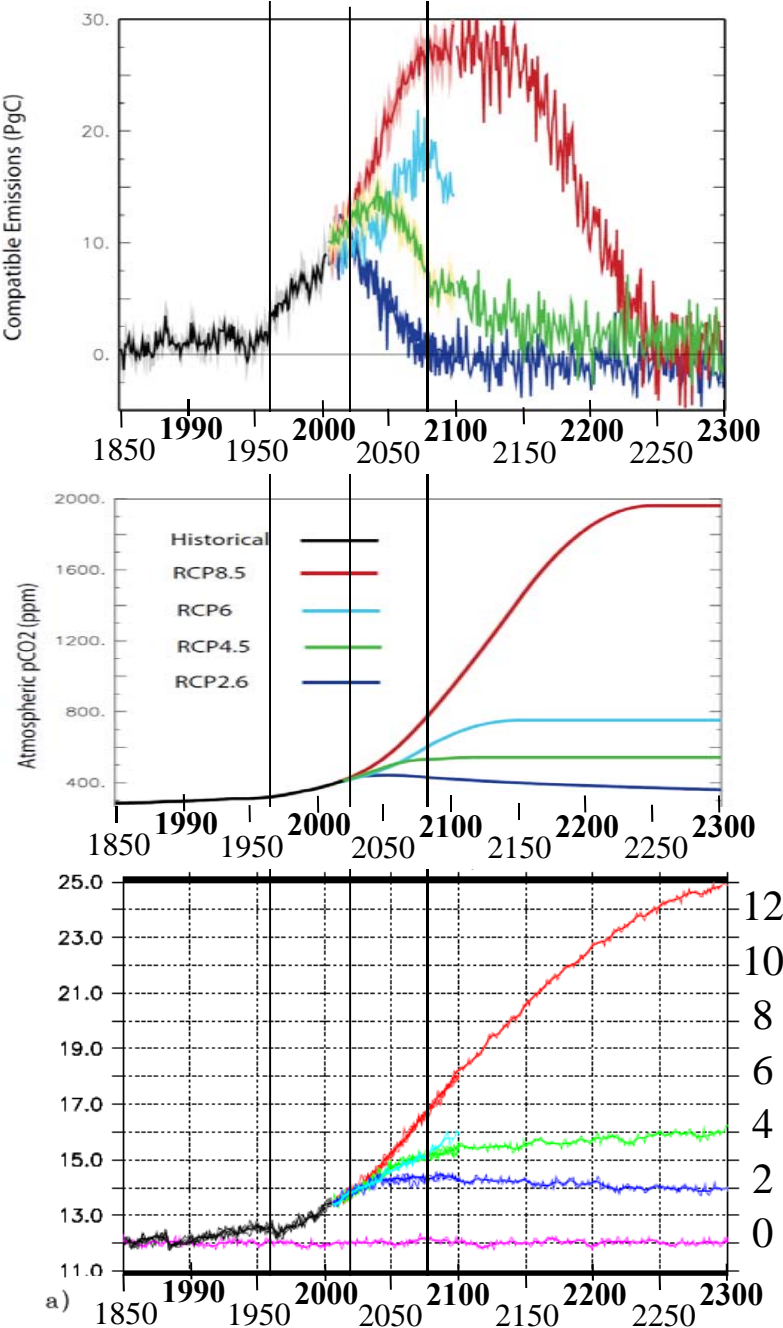


Forçages naturels et anthropiques

(dont concentration de CO<sub>2</sub>)

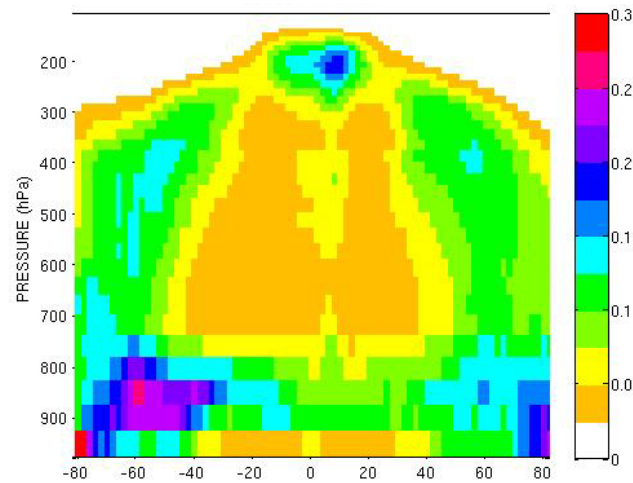


Changement climatique  
(dont température de surface)

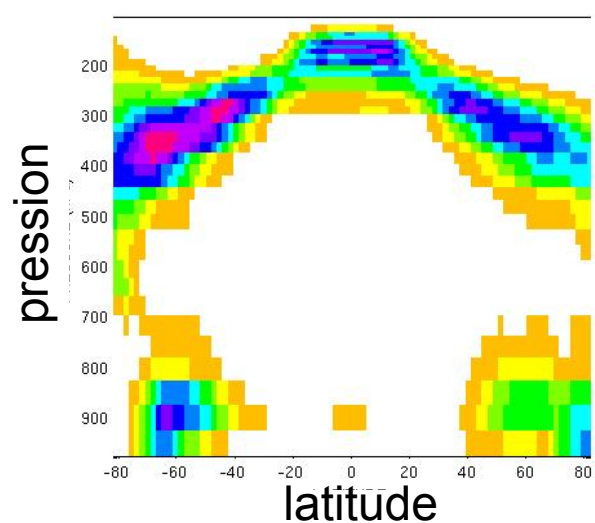


# Évaluation de la structure verticale des nuages CALIPSO – simulateur COSP

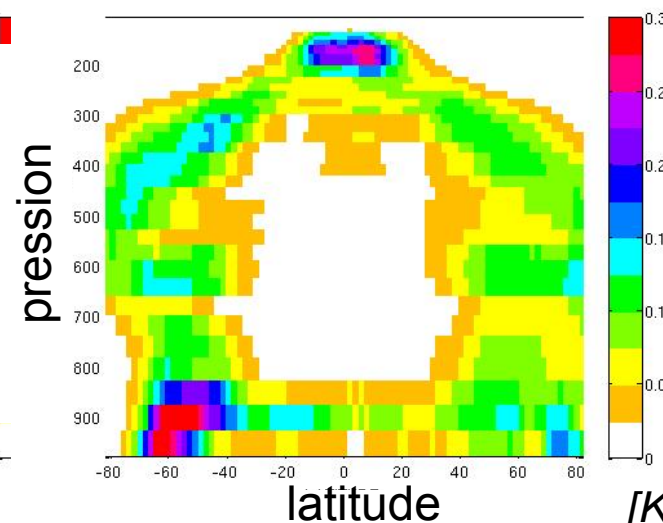
Fraction nuageuse observée (Calipso/GOCCP)



IPSL-CM5A + COSP

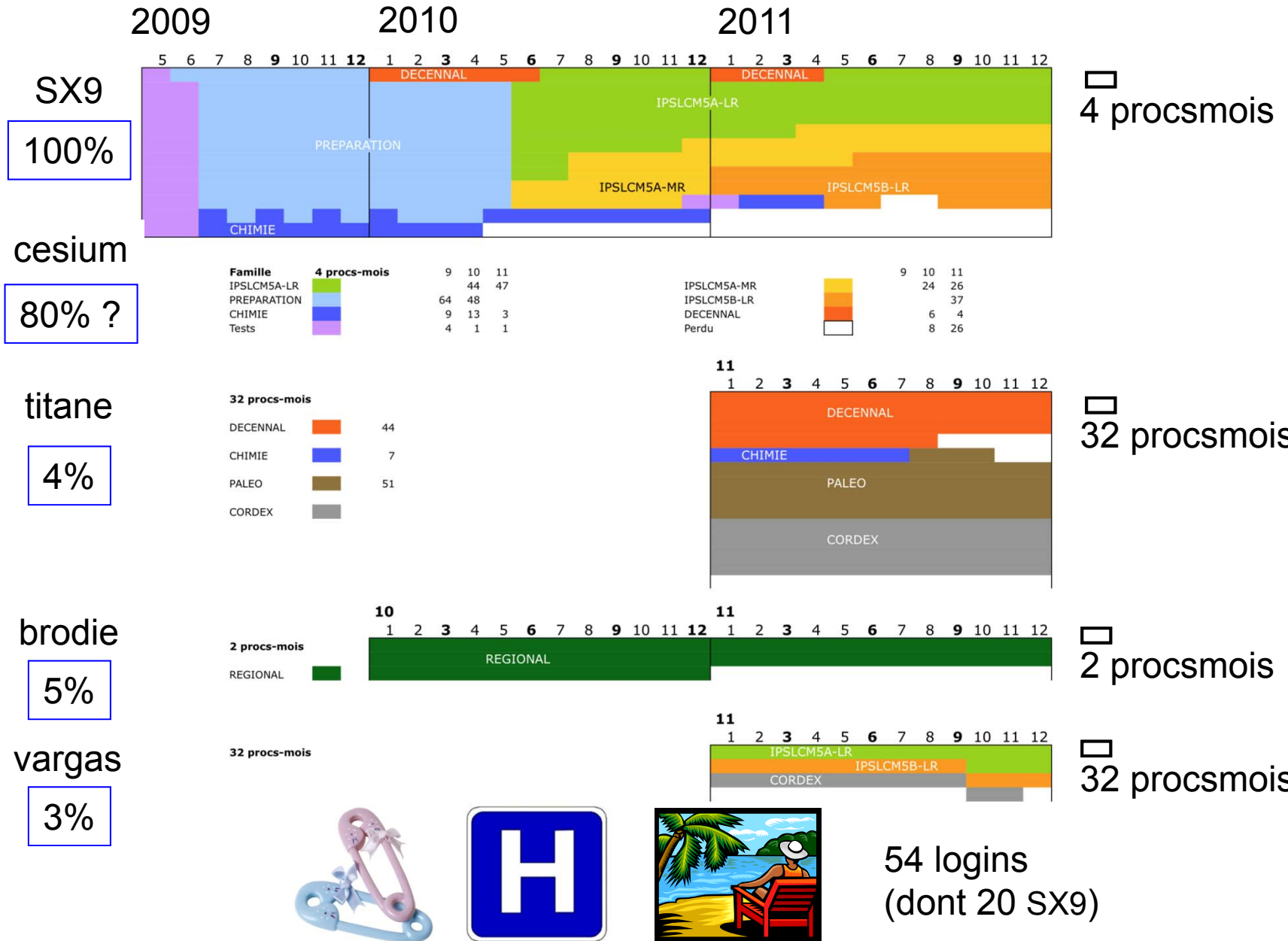


IPSL-CM5B + COSP

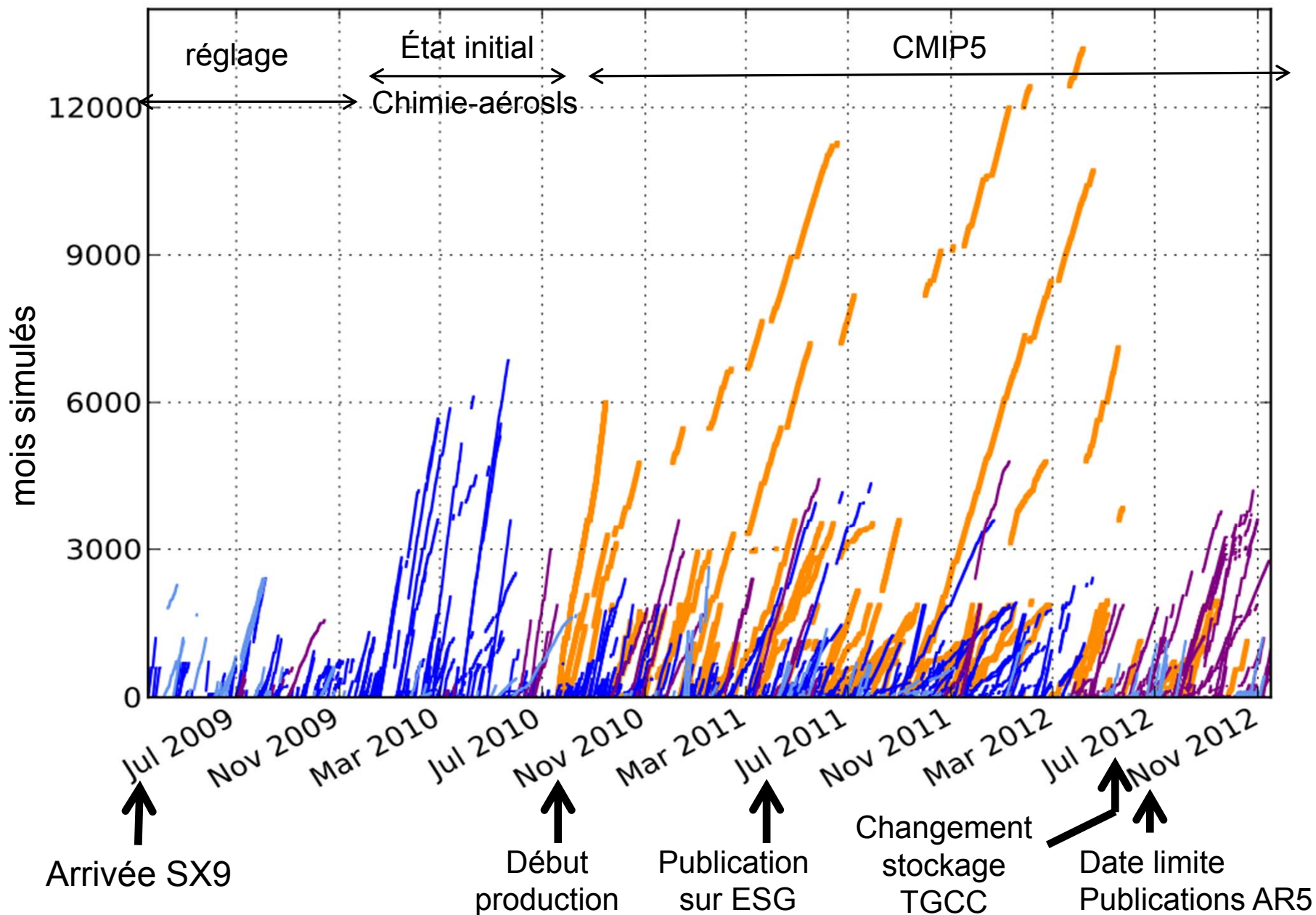


[Konsta et al., 2012]

## Production SX9 et autres machines 2009-2011



## Déroulement des simulations CMIP5 (2009-2012)



# CMIP5 variables counts

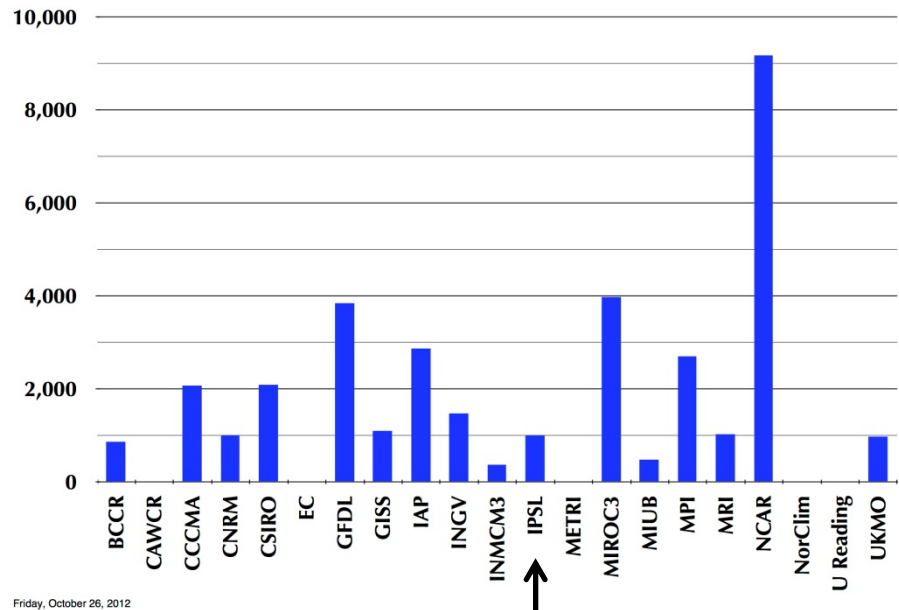
	1 hour	3 hour	6 hour	daily	month	annual	<b>totals</b>
aerosol	0	0	0	0	81	0	<b>81</b>
atmosphere	75	101	9	86	184	0	<b>455</b>
land	0	3	0	2	59	0	<b>64</b>
land ice	0	0	0	2	13	0	<b>15</b>
ocean	0	1	0	3	116	0	<b>120</b>
biogeochemistry	0	0	0	0	88	71	<b>159</b>
sea ice	0	0	0	4	47	0	<b>51</b>
<b>totals</b>	<b>75</b>	<b>105</b>	<b>9</b>	<b>97</b>	<b>588</b>	<b>71</b>	<b>945</b>

# Analyse et distribution des données

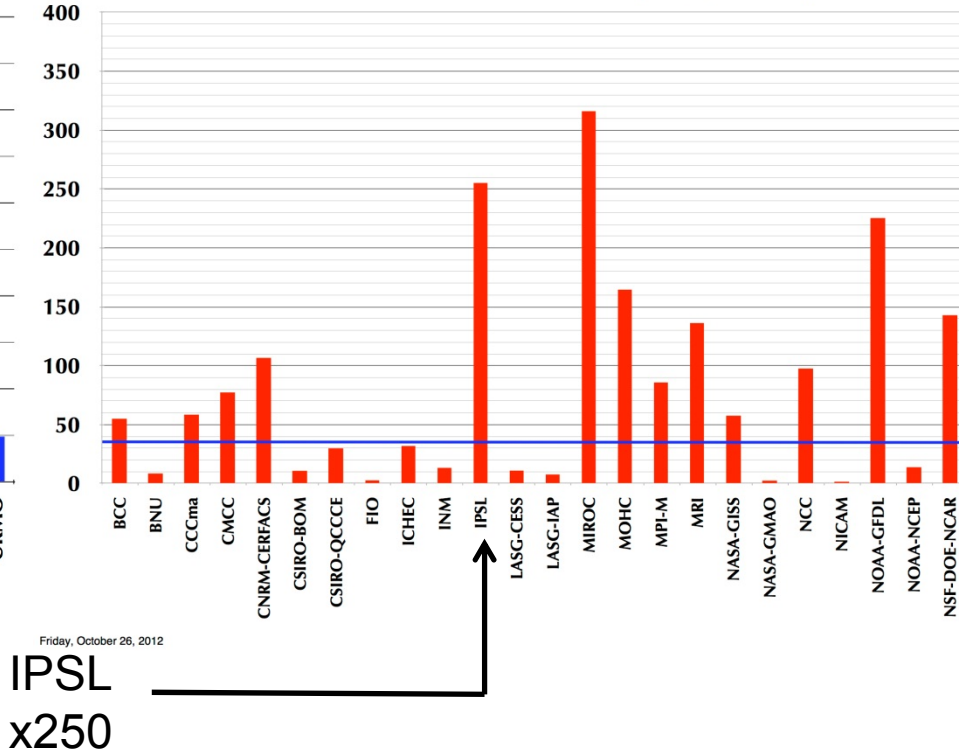
- Plus de variables, fréquence plus élevée
- Plus de type d'expériences
- Simulations d'ensemble
- IPSL- Trois versions de modèle

en moyenne: x30 de CMIP3 à CMIP5

**CMIP3 data volumes by group (GB)**



**CMIP5 data volumes by group (TB)**



Friday, October 26, 2012

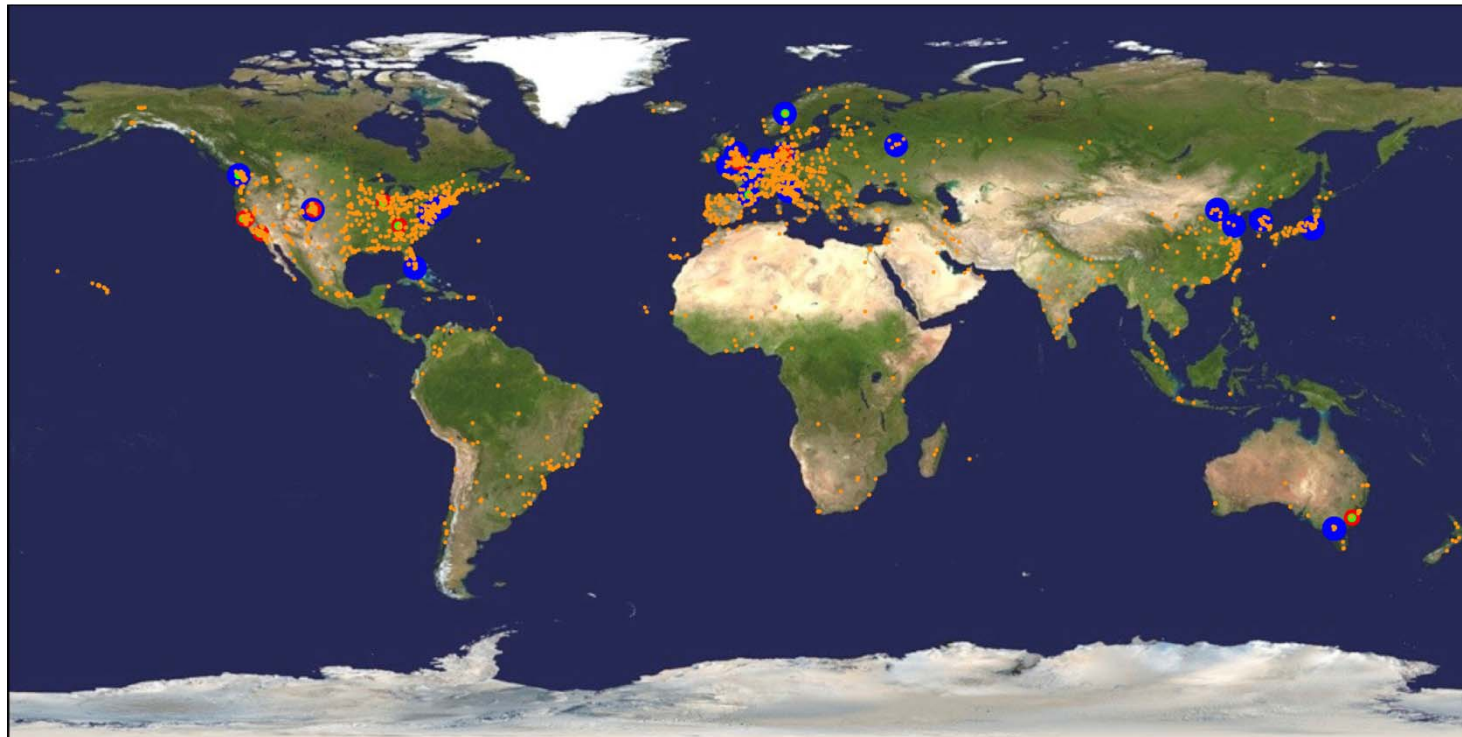
Friday, October 26, 2012

IPSL  
x250

# CMIP5 distribution: Earth System Grid (ESG)

CMIP3: distribution des données via 1 serveur (PCMDI)

CMIP5: distribution répartie des données

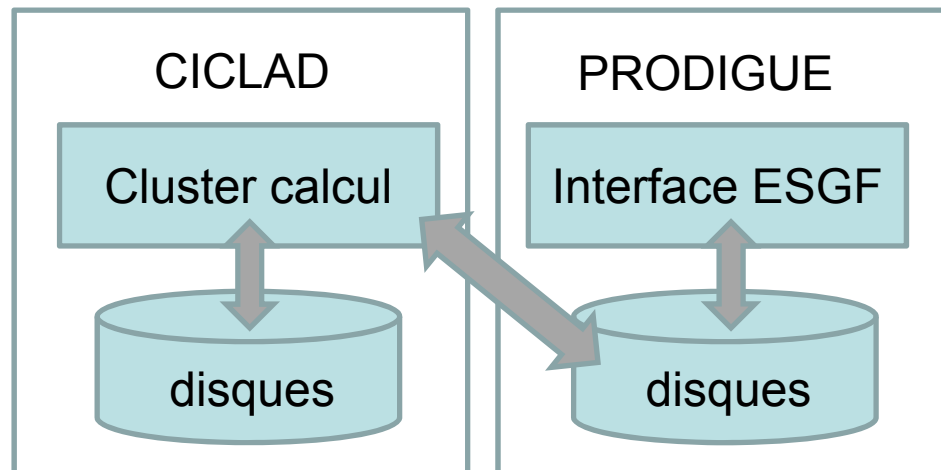


● Modeling centers (24)

● Gateways (9)  
● Nodes (14)

● Users (1000s)

# Analyse et distribution des données



Sébastien Denvil, Franck Corsini, Philippe Weill

Accès (moyenne sur 1 an)

- 30 To/mois
- 30 000 fichiers/mois
- ≈ centaines utilisateurs

## Projet initial

- Distribution sous ensemble donnée modèle IPSL
- Analyse multi modèle CMIP5

## Réalisation actuelle

- Distribution de l'ensemble des donnée modèles IPSL-CM5
- Data node ESGF + publisher
- Analyse multi modèle CMIP5
- Hébergement autres projets

394T CMIP5 (250 To IPSL-CM5)  
8.4T OCMIP5/  
3.0T CMIP3  
2.8T PMIP3/  
248G GeoMIP  
97G TAMIP  
? IsiMIP  
? Cordex

## **CMIP5 à l'IPSL**

- **IPSL-CM5A: ESM avec cycle du carbone, chimie et aérosols.** Décliné en deux résolutions horizontales (atm.). A des caractéristiques proches de IPSL-CM4
- **IPSL-CM5B: OAGCM**, avec nouvelle physique atmosphérique
- **IPSL-CM5A et CM5B ont des sensibilités climatiques très différentes**
- **Intérêt de normaliser les changements climatiques par le réchauffement climatique moyen.** Surprenante linéarité des résultats et faible sensibilité au scénario.
- **Avec IPSL-CM5A-LR:** simulations longues ( $> 1000$  ans) + ensembles de simulations
- Un nombre de simulations, de variables, de fichiers, et un volume de données **sans précédent pour nous**.
- Mise en place de ressources (disques + CPU) pour l'analyse multi-modèle CMIP5

